

УДК 539.376

ОЦЕНКА ПРЕДЕЛЬНЫХ УРОВНЕЙ НАГРУЖЕНИЯ СЛОЖНО АРМИРОВАННЫХ ОБОЛОЧЕК ВРАЩЕНИЯ В УСЛОВИЯХ ПОЛЗУЧЕСТИ*)

А.П. Янковский

Институт теоретической и прикладной механики СО РАН, Новосибирск

Сформулирована и решена методом линейного программирования задача определения в условиях ползучести верхней кинематической границы несущей способности сложно армированных металлокомпозитных оболочек вращения. Показано, что для рассматриваемых видов конструкций и типа композиции наибольшую предельную нагрузку, как правило, обеспечивают структуры армирования по меридионально-окружным направлениям; максимально допустимые предельные нагрузки для тонкостенных конструкций, работающих в условиях ползучести, в несколько раз ниже предельно допустимых нагрузок, определенных по критерию кратковременной прочности.

Ключевые слова: оболочки вращения, армирование, предельное нагружение, жесткопластическая модель, жестко-ползучая модель, линейное программирование.

В работах [1, 2] автор исследовал влияние различных структур армирования на несущую способность изгибаемых пластин и оболочек на базе критерия кратковременной прочности. При этом предполагалось: все фазовые материалы тонкостенных конструкций ведут себя идеально-жестко-пластично, что позволяет определить предельный уровень нагружения, выдерживаемый армированными пластинами и оболочками при полном исчерпании несущей способности всеми субструктурными элементами композиции. Однако на практике тонкостенные конструкции зачастую эксплуатируются в условиях длительного нагружения при повышенных температурах [3], поэтому в них могут активно развиваться деформации ползучести. В связи с этим особую актуальность приобретает вопрос об оценке предельных уровней нагружения сложно армированных металлокомпозитных оболочек (которые в последнее время находят все более широкое применение на практике) с учетом развития деформаций ползучести в них.

Так как теория ползучести и длительной прочности сложно армированных тонкостенных конструкций в настоящее время находится в зачаточном состоянии [4], то для проведения оценочных технических расчетов целесообразно использовать приближенную схему жестко-ползучего тела [5, 6]. Полное решение или близкие

*) Работа выполнена при финансовой поддержке Российского фонда фундаментальных исследований (проект 08-01-00046-а).

(верхнюю и нижнюю) границы несущей способности конструкции по жестко-ползучей схеме можно получить лишь для некоторого узкого круга задач [5–7 и др.], поэтому выдвигаемые практикой новые задачи требуют привлечения численных методов решения математической задачи об определении предельного уровня их нагружения в рамках жестко-ползучей модели. Настоящее исследование посвящено определению верхней границы несущей способности металлокомпозитных оболочек вращения различной осесимметричной структуры и геометрии в условиях ползучести с использованием теории линейного программирования.

В силу известного [5] формального сходства определения несущей способности конструкции по жесткопластической и жестко-ползучей схемам, не будем останавливаться на описании метода расчета, который полностью совпадает с подробно изложенным в [2], где нужно лишь заменить пределы текучести $\sigma_s = \sigma_{0,2}$ фазовых материалов на соответствующие пределы ползучести σ_c .

При проведении расчетов по жестко-ползучей схеме предел ползучести σ_c материала выбирается либо из условия предельно допустимой деформации ϵ_{\max} ползучести [6], либо из условия предельно допустимой скорости $\dot{\epsilon}_{\max}$ деформации ползучести [5], которая регламентирована для целого ряда несущих элементов конструкций [3], либо из условия длительной прочности [8].

В случае армированного металлокомпозита значения σ_c для фазовых материалов можно выбрать, исходя, например, из следующих соображений. Рассмотрим степенной закон установившейся ползучести (наиболее характерный для металлов)

$$\dot{\epsilon} = B\sigma^m \text{ [ч}^{-1}\text{]}, \quad (1)$$

где B, m – известные из эксперимента характеристики материалов.

Далее в настоящем исследовании будем изучать поведение оболочек, изготовленных из жесткой меди (Cu) и армированных стальной проволокой У8А. При температуре $T \approx 200$ °С законы установившейся ползучести для меди и проволоки У8А подчиняются соотношению (1) с характеристиками:

$$\text{Cu [9]: } m = 2,16, \quad B = 5,63 \cdot 10^{-9} \text{ (МПа)}^{-m} \cdot \text{ч}^{-1}; \quad (2)$$

$$\text{У8А [10]: } m = 24,98, \quad B = 1,054 \cdot 10^{-84} \text{ (МПа)}^{-m} \cdot \text{ч}^{-1}. \quad (3)$$

Аппроксимируем степенной закон установившейся ползучести (1), (3) для проволоки У8А двухзвенной кусочно-линейной функцией

$$\sigma = \begin{cases} B_1 \dot{\epsilon}, & 0 \leq \dot{\epsilon} \leq \dot{\epsilon}_1, \\ \sigma_1 + B_2(\dot{\epsilon} - \dot{\epsilon}_1), & \dot{\epsilon} > \dot{\epsilon}_1, \end{cases} \quad (4)$$

где

$$\begin{aligned} B_1 &= 1,611 \cdot 10^{15} \text{ Па} \cdot \text{ч}, & B_2 &= 1,257 \cdot 10^{12} \text{ Па} \cdot \text{ч}, \\ \sigma_1 &= 1,466 \text{ ГПа}, & \dot{\epsilon}_1 &= 9,097 \cdot 10^{-7} \text{ ч}^{-1}. \end{aligned} \quad (5)$$

(Параметры (5) определены на основании зависимости (1), (3) методом наименьших квадратов на интервале $0 \leq \dot{\epsilon} \leq 10^{-4} \text{ ч}^{-1}$, при этом варьировались величины $\sigma_1, \dot{\epsilon}_1$.)

На рис. 1 кривые 1, 2 характеризуют степенные зависимости $\sigma \sim \dot{\epsilon}$ (1) с параметрами (3), (2) соответственно. Двухзвенная ломаная I' (штриховая линия) соответствует аппроксимации (4), (5). Сравнение линий 1, I' показывает, что зависимость (4), (5) удовлетворительно аппроксимирует закон установившейся ползучести (1), (3). Из поведения ломаной I' следует, что при $\sigma > \sigma_1$ происходит «катастрофичес-

кое» нарастание скорости $\dot{\epsilon}$ деформации установившейся ползучести арматуры, поэтому для проволоки У8А в качестве предела ползучести целесообразно выбрать значение $\sigma_c = \sigma_1 = 1,466$ ГПа.

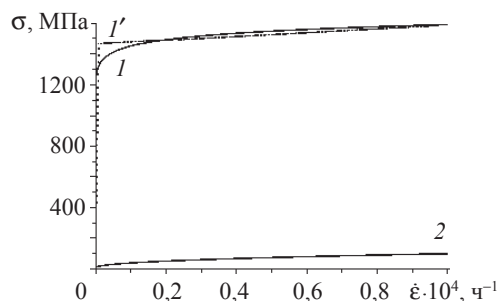


Рис. 1

Согласно (1), (3), этому значению напряжения соответствует скорость деформации $\dot{\epsilon}_{\max} = 1,3034 \cdot 10^{-5} \text{ ч}^{-1}$. Так как арматура и связующее в оболочке должны деформироваться совместно и при одних и тех же значениях скорости $\dot{\epsilon}$ деформаций ползучести напряжения σ в меди существенно меньше напряжения в проволоке У8А (ср. поведение кривой 2 с линией 1), то катастрофическому нарастанию $\dot{\epsilon}$ в арматуре будет соответствовать и катастрофическое нарастание $\dot{\epsilon}$ в связующем композиция. Поэтому для рассматриваемого материала связующей матрицы в качестве $\dot{\epsilon}_{\max}$ можно выбрать то же самое значение, что и для проволоки У8А. Подставив $\dot{\epsilon} = \dot{\epsilon}_{\max} = 1,3034 \cdot 10^{-5} \text{ ч}^{-1}$ в соотношение (1), с учетом параметров (2) получим расчетное значение предела ползучести σ_c для твердой меди, которое (наряду с другими физико-механическими характеристиками фазовых материалов) приведено в табл. 1. (Рассуждая подобным образом, можно определить значения σ_c для фазовых материалов при использовании других типов металлокомпозиций.)

Таблица 1

Физико-механические характеристики фазовых материалов [3, 10]

Материал	σ_s , МПа	σ_c , МПа	ρ , кг/м ³
Твердая медь	280	36,11	8940
Проволока У8А	2500	1466	7800

Исследуем на конкретных примерах влияние структуры армирования оболочки вращения на уровень ее предельного нагружения при ползучести и сравним его с уровнем предельного нагружения таких оболочек, определенным по жесткопластической схеме (по критерию кратковременной прочности).

Рассматриваются тонкие оболочки вращения постоянной толщины $H = 1$ см, осесимметрично нагруженные и армированные. Нагрузки в окружном направлении отсутствуют, армирование осуществляется по меридионально-окружным или меридионально-симметричным спиральным траекториям двумя семействами стальной проволоки У8А. При таких структурах армирования, нагружении и геометрии оболочек в них отсутствует скручивание, поэтому направления главных напряжений и скоростей деформаций в связующем и в композиции в целом совпадают с меридиональным и окружным направлениями.

Кромки оболочек задаются значениями $0 \leq \theta_* < \theta_{**} < \pi$ ($\theta_* \leq \theta \leq \theta_{**}$; θ – угол между осью вращения и нормалью к срединной поверхности), угол θ_{**} определяет

опорный контур оболочки (в расчетах примем $\theta_{**} = \pi/2$, т.е. срединная поверхность пересекает опорную плоскость под прямым углом), угол θ_* задает полюсное отверстие в вершине оболочки, которое предполагается закрытым абсолютно жесткой круглой пластиной (крышкой), жестко скрепленной с верхней кромкой оболочки.

Исследуем несущую способность сферических и эллипсоидальных оболочек, нагруженных внутренним давлением p . Предполагается, что на крышку может действовать не только внутреннее давление, но и внешняя фиксированная нагрузка G (см. (1) в [2]), не зависящая от p .

Геометрия оболочек определяется следующими размерами: радиус крышки $r_* = 0,2$ м; радиус сферической оболочки $R = r_0 = 1$ м; для эллипсоидальных оболочек первого типа (ЭОТ1) – сплюснутых – радиус опорного контура $r_0 = 1,2$ м, а высота в полюсной точке $h_p = 0,694$ м; для эллипсоидальных оболочек второго типа (ЭОТ2) – вытянутых – $r_0 = 0,8$ м, $h_p = 1,563$ м. (Более подробно геометрия оболочки вращения при заданных r_0, h_p, r_* определяется формулами (1), (22) в [11].) При таком задании размеров оболочек объем пространства, ограниченный ими и опорной поверхностью и определяемый интегралом

$$V_* = \pi \int_{\theta_*}^{\theta_{**}} R_1(\theta) R_2^2(\theta) \sin^3 \theta d\theta,$$

остается постоянным. (Здесь R_1 – радиус кривизны оболочки в меридиональном направлении; R_2 – расстояние от оси вращения до срединной поверхности.)

Так как арматура предполагается постоянного поперечного сечения и обрывается только на краях конструкции, то плотность ω_k армирования k -м семейством проволоки при $H = \text{const}$ определяется равенством [12]:

$$\begin{aligned} \omega_k(\theta) &= [\omega_{k*} \cos \psi_k R_2^* \sin \theta_*] / [\cos \psi_k(\theta) R_2(\theta) \sin \theta], \\ \omega_{k*} &= \omega_k(\theta_*), \quad \psi_{k*} = \psi_k(\theta_*), \quad R_2^* = R_2(\theta_*), \quad k = 1, 2, \end{aligned} \quad (6)$$

где ψ_k – углы армирования проволокой k -го семейства, отсчитываемые от меридионального направления; ω_{k*} – постоянные, которые можно варьировать. Равенство (6) не выполняется лишь при окружном армировании (так как $\cos \psi_k \equiv 0$), в этом случае $\omega_k(\theta)$ – произвольная функция [12], удовлетворяющая физическим ограничениям

$$\omega_k \geq 0 \quad (k = 1, 2), \quad \omega_1 + \omega_2 \leq \omega_* < 1, \quad (7)$$

где ω_* – предельно допустимая удельная суммарная плотность армирования (на практике обычно $\omega_* \approx 0,7$).

В табл. 2 приведены некоторые результаты расчетов изотропных и металлокомпозитных оболочек ($G = 0$), перекрестно армированных по меридиональным ($\psi_1 = 0$) и окружным ($\psi_2 = \pi/2$) направлениям. Структуры армирования оболочек характеризуются следующими значениями плотностей армирования (см. (6)): $\omega_{1*} = 0,3$ – для сферического пояса; $\omega_{1*} = 0,33$ – для ЭОТ1; $\omega_{1*} = 0,26$ – для ЭОТ2; для всех трех типов оболочек $\omega_2(\theta) = 0,084$, что в рамках точности используемой теории обеспечивает выполнение ограничений (7) и одинаковый относительный расход арматуры $V_a/V = 0,168$ в конструкциях рассматриваемой геометрии, где

$$V_a = 2\pi \int_{\theta_*}^{\theta_{**}} \sum_{k=1}^2 \omega_k(\theta) R_1 R_2 H \sin \theta d\theta, \quad V = 2\pi \int_{\theta_*}^{\theta_{**}} R_1 R_2 H \sin \theta d\theta.$$

Таблица 2

Результаты расчетов предельного состояния оболочек		
Характеристика решения, МПа	Материал оболочки	
	Cu (изотропная)	Cu-У8А (композитная)
Сферическая оболочка		
p_c	0,2580	1,8111
p_s	2,0003	4,5448
Эллипсоидальная оболочка первого типа (ЭОТ1)		
p_c	0,1586	1,3426
p_s	1,2215	3,1346
Эллипсоидальная оболочка второго типа (ЭОТ2)		
p_c	0,3606	2,7964
p_s	3,4221	9,1503

В табл. 2 и далее под p_c понимается предельное значение внутреннего давления p при ползучести, а под p_s – предельное значение p , рассчитанное для тех же конструкций по жесткопластической схеме (по критерию кратковременной несущей способности).

Из табл. 2 следует, что при одном и том же объеме V материала конструкции заданной геометрии наибольшее внутреннее давление выдерживают металлокомпозитные оболочки (при этом, согласно табл. 1, масса изотропных оболочек несколько больше массы композитных). Геометрия оболочек также влияет на предельную нагрузку: чем больше вытянута оболочка вдоль оси вращения, тем больше ее несущая способность, поэтому из всех рассмотренных выше оболочек наибольшими значениями p_c, p_s обладают металлокомпозитные ЭОТ2, а наименьшим – медные ЭОТ1 (см. табл. 2).

На рис. 2 изображены зависимости предельных значений p_c (рис. 2,а) и p_s (рис. 2,б) от угла ψ спирального армирования ($\psi_1(\theta) = -\psi_2(\theta) = \psi = \text{const}$, $\omega_1(\theta) = \omega_2(\theta)$, см. (б)) оболочек разной геометрии: кривые 1 характеризуют несущую способность сферических оболочек ($\omega_{k*} = 0,3$); линии 2 – ЭОТ1 ($\omega_{k*} = 0,33$); кривые 3 – ЭОТ2 ($\omega_{k*} = 0,26, k = 1, 2$). (Указанные значения ω_{k*} подобраны таким образом, чтобы относительный объем арматуры в оболочках оставался прежним: $V_a/V = 0,168$.)

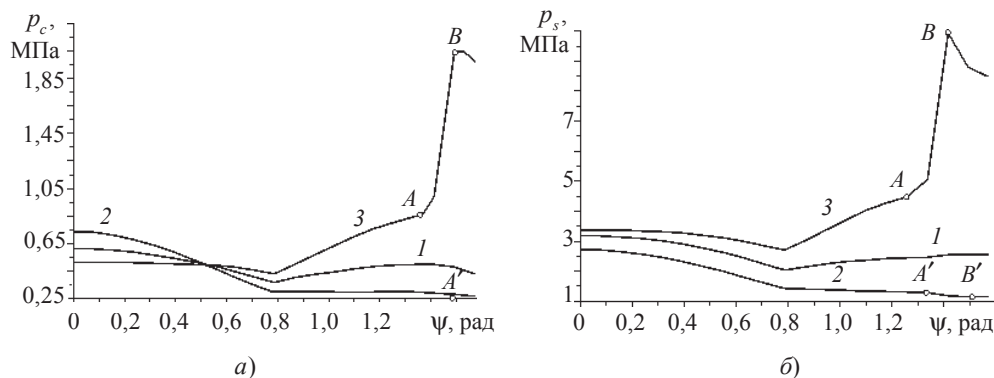


Рис. 2

Точкам $\psi = 0$ на рис. 2 соответствует меридиональное армирование оболочек, а

$\psi = \pi/2$ – окружное (при этом $\omega_k(\theta)$ определяется по закону (6) в предположении, что $\cos \psi_{k^*} / \cos \psi_k = 1$).

Сравнение кривых с одинаковыми номерами, изображенных на рис. 2, а и б, а также значений p_c, p_s , приведенных в табл. 2, показывает, что несущая способность оболочек рассматриваемых структур, определенная по жестко-ползучей схеме, далека от полного исчерпания, так как при одних и тех же структурах армирования значения p_s в 3-4 раза больше величин p_c .

Точкам максимумов на кривых рис. 2 соответствуют рациональные проекты на множестве рассматриваемых спиральных структур армирования. Так, для сферического пояса (кривая 1) и для ЭОТ1 (кривая 2) рациональным будет меридиональное армирование ($\psi = 0$), для ЭОТ2 – перекрестное армирование под углами $\psi \approx \approx 19\pi/40$ (кривая 3 на рис. 2, а) и $\psi \approx 9\pi/20$ (кривая 3 на рис. 2, б). Следовательно, не всегда армирование по направлениям главных напряжений (меридиональному или окружному) является наилучшим.

Для сферической оболочки (кривые 1) при всех углах армирования наблюдается один «механизм» вязко-ползучего и пластического течения: под действием внутреннего давления в предельном состоянии «течет» вся оболочка. Для эллипсоидальных оболочек наблюдается смена «механизмов» вязко-ползучего и пластического течения при изменении углов армирования ψ . Точки A, B на кривых 3 и точки A', B' на линиях 2 характеризуют такую смену «механизмов течения». На рис. 3 изображены кривые, характеризующие скорости смещения точек срединной поверхности в меридиональном (v_1 – штриховые линии с номерами 2, 2', 2'') и нормальном (v_3 – сплошные линии с номерами 1, 1', 1'') направлениях и соответствующие разным «механизмам» вязко-ползучего течения ЭОТ2 (см. кривую 3 на рис. 2, а). Так, при углах армирования $0 \leq \psi \leq \psi_A \approx 1,38$ рад в предельном состоянии наблюдается вязко-ползучее течение всей ЭОТ2 (на всем ее меридиональном протяжении $\theta_* = 0,467 \leq \theta \leq \theta_{**} = \pi/2$); кривые 1, 2 на рис. 3, а характеризуют такой «механизм течения» при $\psi = \psi_A - 0$ (точкам изломов на этих кривых соответствуют вязко-ползучие шарниры).

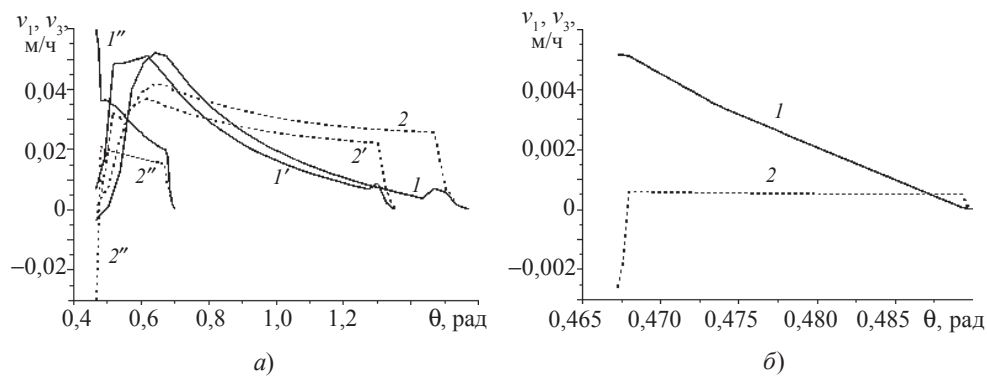


Рис. 3

При углах армирования $\psi_A < \psi < \psi_B \approx 1,492$ рад в предельном состоянии наблюдается частичное вязко-ползучее течение оболочки, когда некоторая ее часть в окрестности опорного контура остается жесткой, а «течение» наблюдается лишь в некоторой окрестности крышки ($\theta_* \leq \theta \leq \theta_p, 0,7 \leq \theta_p \leq 1,34$ рад); «механизмы»

такого вязко-ползучего течения при $\psi = \psi_A + 0$ и $\psi = \psi_B - 0$ на рис. 3,а характеризуются кривыми 1', 2' и 1'', 2'' соответственно. (Аналогичные «механизмы течения» наблюдаются и для ЭОТ1 левее и правее точки А' на кривой 2 рис. 2,а.)

При углах армирования $\psi_B < \psi \leq \pi/2$ наблюдается «срез» крышки у ЭОТ2, когда вязко-ползучее течение происходит в малой окрестности скрепления оболочки с крышкой, остальная же часть оболочки остается жесткой. На рис. 3,б приведены кривые, характеризующие «срез» крышки при $\psi = \psi_B + 0$ (см. точку В на рис. 2,а). Из рис. 3,б видно, что участок вязко-ползучего деформирования составляет $\Delta\theta = 0,49 - 0,467 = 0,023$ рад, т. е. всего 2,08% от всей меридиональной протяженности оболочки (от разности $\theta_{**} - \theta_* = 1,104$ рад).

Таким образом, при некоторых входных данных (например, при определенных структурах армирования) задачи предельного состояния оболочки, работающей в условиях ползучести, могут реализоваться несколько «механизмов» их вязко-ползучего течения, обеспечивающих одно и то же значение предельной нагрузки.

Качественно подобные результаты получаются и при рассмотрении предельного равновесия армированных оболочек в условиях идеальной пластичности (см. рис. 2,б). При этом смена «механизмов течения» наблюдается также и при варьировании толщины H как армированных, так и изотропных оболочек. Неединственность решения в задачах предельного равновесия оболочек вращения ранее была обнаружена автором в [2, 11].

Сравнение точек максимумов на кривых рис. 2 со значениями p_c, p_s , приведенными в табл. 2 для армированных оболочек, показывает, что меридионально-окружное армирование почти всегда является наилучшим из всех рассмотренных структур армирования. Исключение составляет лишь ЭОТ2 в предельном пластическом состоянии, так как ордината точки В ($\psi_B \approx 1,492 \neq \pi/2$) на рис. 2,б имеет значение $p_s = 9,914$ МПа, что на 8,3% больше значения $p_s = 9,1503$ МПа, приведенного в табл. 2. Последний результат еще раз подтверждает тот факт, что не всегда армирование по направлениям главных напряжений является наилучшим.

При реализации в предельном состоянии «механизмов» частичного вязко-ползучего течения оболочки в окрестности крышки или при «срезе» крышки дополнительно повысить несущую способность конструкции можно за счет ее усиления (например, увеличения плотностей армирования или толщины оболочки) именно в некоторой окрестности крышки. (При этом в ряде случаев можно ослабить оболочку в нижней части – в окрестности опорного контура, где она остается жесткой.)

Точки левого участка кривой 1 на рис. 3,а имеют отрицательные ординаты. Это означает, что под действием внутреннего давления в предельном состоянии при «механизме» полного (а в ряде случаев и частичного) вязко-ползучего течения оболочек крышка и окрестная часть оболочки проседают вниз. (Такие же «механизмы» вязко-ползучего течения реализуются, в частности, и в оболочках с меридионально-окружным армированием, приведенных в табл. 2.) Следовательно, чтобы дополнительно повысить несущую способность оболочек с такими «механизмами течения», нужно к крышке приложить внешнюю силу $G = P$ (см. (1) в [2]), растягивающую оболочку в осевом направлении ($P > 0$). Наоборот, ординаты точек кривых 1', 1'' на рис. 3,а и линии 1 на рис. 3,б неотрицательны, т.е. при соответствующих структурах армирования дополнительно повысить несущую способность конструкции можно за счет приложения к крышке внешней силы, сжимающей оболочку в осевом направлении ($P < 0$).

На рис. 4 изображены кривые, характеризующие зависимости $p_c(P)$ для трех оболочек: кривая 1 соответствует сферической оболочке, линии 2, 3 – ЭОТ2; кривые 1, 2 характеризуют оболочки с меридионально-окружным армированием (параметры армирования даны при описании табл. 2), линия 3 – оболочки с окружным армированием, соответствующим правой точке на кривой 3 рис. 2,а. Кривая 1 на рис. 4 имеет локальный максимум $p_{\max} = 2,26$ МПа при $P \approx 0,7$ МН, т.е. за счет догружения крышки несущую способность сферической оболочки можно дополнительно повысить на 24,8%. Локальный максимум $p_{\max} = 4$ МПа на кривой 2 реализуется в точке $P \approx 1,5$ МН, а значит, за счет догружения крышки несущую способность соответствующей оболочки можно повысить на 17%. Поведение кривой 3 показывает, что наибольшего эффекта можно добиться при догружении крышки в случае ее «среза». Несущую способность оболочки, соответствующей линии 3, за счет догружения крышки силой $P = -0,248$ МН можно увеличить вдвое. (Дальнейшее увеличение внешней нагрузки P по модулю в этом случае на практике невозможно, так как при $P = -0,2481$ МН происходит «срез» крышки от этой силы при отсутствии внутреннего давления в оболочке: $p = 0$.)

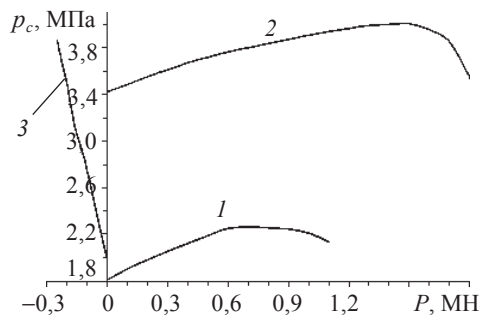


Рис. 4

Таким образом, проведенные в настоящей работе исследования позволяют заключить, что уровни предельно допустимого нагружения оболочек вращения в условиях ползучести существенно (в разы) ниже уровней предельных нагрузок, при которых происходит переход в пластическое состояние всех фаз композиции оболочки. Из всех рассмотренных структур армирования наибольшую несущую способность таким конструкциям, как правило, обеспечивает армирование по меридионально-окружным направлениям.

З а м е ч а н и е 1. Наиболее известные и распространенные на сегодняшний день теории ползучести металлов [5, 13] не учитывают такого явления, как разносопротивляемость материалов растяжению–сжатию в условиях ползучести, которое наблюдается в экспериментах для целого ряда металлов [14, 15 и др.]. В рамках использованной в настоящем исследовании жестко-ползучей схемы это явление может быть легко учтено и использовано в расчетах. (Описание учета такой особенности поведения материалов на базе жесткопластической модели дано в [11], поэтому не будем здесь останавливаться на обсуждении этого вопроса.)

З а м е ч а н и е 2. В настоящем исследовании крышка оболочки предполагалась абсолютно жесткой. В действительности же следовало бы оценить и несущую способность крышки в предположении об абсолютной жесткости оболочки. Для круглых изотропных и металлокомпозитных пластин (каковой и предполагается крышка)

это можно сделать методами, изложенными в [1, 7]. Изучение этого вопроса выходит за рамки настоящего исследования.

Литература

1. *Немировский, Ю.В.* Влияние структуры армирования и формы профиля на предельное равновесие поперечно изгибаемых кольцевых пластин / Ю.В. Немировский, А.П. Янковский // Вестник ННГУ. Серия: Механика. – 2006. – Вып. 1 (7). – С. 123–133.
2. *Немировский, Ю.В.* Влияние структуры армирования на предельную нагрузку металлокомпозитных оболочек вращения / Ю.В. Немировский, А.П. Янковский // Вестник Чувашского гос. пед. ун-та им. И.Я. Яковлева. Серия: Механика предельного состояния. – 2008. – №1 (4). – С. 108–116.
3. *Безухов, Н.И.* Расчеты на прочность, устойчивость и колебания в условиях высоких температур / Н.И. Безухов и [др.] / Под ред. И.И. Гольденבלата. – М.: Машиностроение, 1965. – 568 с.
4. *Немировский, Ю.В.* Ползучесть однородных и композитных оболочек / Ю.В. Немировский // Актуальные проблемы механики оболочек. Тр. Междунар. конф., посвященной 100-летию проф. Х.М. Муштари, 90-летию проф. К.З. Галимова и 80-летию проф. М.С. Корнишина. Казань, 26–30 июня 2000 г. – Казань: Новое знание, 2000. – С. 42–49.
5. *Качанов, Л.М.* Теория ползучести / Л.М. Качанов. – М.: Физматгиз, 1960. – 456 с.
6. *Немировский, Ю.В.* О времени эксплуатации цилиндрических оболочек в условиях ползучести / Ю.В. Немировский // Строительная механика корабля. – 1967. – Вып. 92. – С. 107–113.
7. *Ерхов, М.И.* Теория идеально пластических тел и конструкций / М.И. Ерхов. – М.: Наука, 1978. – 352 с.
8. *Никитенко, А.Ф.* Предельное состояние элементов конструкций в процессе неупругого деформирования их материала / А.Ф. Никитенко, Б.С. Резников // ПМТФ. – 2010. – Т. 51, №1. – С. 147–152.
9. *Писаренко, Г.С.* Уравнения и краевые задачи теории пластичности и ползучести: Справочное пособие / Г.С. Писаренко, Н.С. Можаровский. – Киев: Наукова думка, 1981. – 496 с.
10. Композиционные материалы: Справочник / Под ред. Д. М. Карпиноса. – Киев: Наукова думка, 1985. – 592 с.
11. *Немировский, Ю.В.* Предельное равновесие железобетонных куполов вращения / Ю.В. Немировский, А.П. Янковский // Изв. вузов. Строительство. – 2005. – №8. – С. 4–11.
12. *Немировский, Ю.В.* О некоторых особенностях уравнений оболочек, армированных волокнами постоянного поперечного сечения / Ю.В. Немировский, А.П. Янковский // Механика композиционных материалов и конструкций. – 1997. – Т. 3, №2. – С. 20–40.
13. *Радченко, В.П.* Ползучесть и релаксация остаточных напряжений в упрочненных конструкциях / В.П. Радченко, М.Н. Саушкин. – М.: Машиностроение, 2005. – 226 с.
14. *Соснин, О.В.* О ползучести материалов с разными характеристиками на растяжение и сжатие / О.В. Соснин // ПМТФ. – 1970. – №5. – С. 136–139.
15. *Горев, Б.В.* К расчету на неустановившуюся ползучесть изгибаемого бруса с разрывными характеристиками на растяжение и сжатие / Б.В. Горев // Динамика сплошной среды: Сб. научн. тр. / Новосибирск, ИГ СО АН СССР. – 1973. – Вып. 14. – С. 44–51.

[19.08.2010]

ASSESSING ULTIMATE LOADING LEVELS OF SHELLS OF REVOLUTION WITH COMPLEX REINFORCEMENT UNDER CREEP

A.P. Yankovsky

The problem of determining the upper cinematic limit of the carrying capacity of metal-composite shells of revolution with complex reinforcement under creep is formulated and solved using the linear programming method. For the structures and composite types considered, structures with

meridian-circumferential reinforcement are shown to provide the highest ultimate loading levels; limiting ultimate loads for thin-walled structures working under the conditions of creep are several times lower than those determined using the short-time strength criterion.

Key words: shells of revolution, reinforcement, ultimate loading, rigid-plastic model, linear programming.